

٨٧١/١٠/٢٣
٨٧١٠٢١

"بسم الله الرحمن الرحيم"

١٠٧٩٨٧



دانشگاه کیلان

دانشکده علوم

گروه شیمی

گرایش تجزیه

الکتروپلیمریزاسیون ۴-نیترو ۲-آمینو بنزن و امکان ساخت

الکترودهای یون گزین از آن

از:

نرجس عاشوری

۱۳۸۷/۱۰/۵

استاد راهنما :

دکتر علیرضا علی اکبر



شهریور ۸۷

۱۰۷۹۸۷

با نهایت تشکر از:

جناب آقای دکتر علی اکبر که راهنمایی این پایان نامه را برعهده داشتند و در این مدت همواره از راهنمایی ها و حمایتشان بپره مند شدم.

با سپاس از:

اساتید محترم جناب آقای دکتر انصاری و جناب آقای دکتر زنجانچی که داوری این پایان نامه را برعهده داشتند.
جناب آقای دکتر محمد خواه نماینده تحصیلات تکمیلی.

و با قدردانی از:

همسر عزیزم که همواره همراه و پشتیبان من هستند.
ودوستان خوبم آقای عاشورنیا و خانم شریفیان و برادر عزیزم آقای ایوب عاشوری

فهرست عناوین

صفحه	عنوان
۵	چکیده فارسی
ذ	چکیده انگلیسی
	بخش اول : مقدمه و تئوری
۱	مقدمه
۲	۱-۱- انواع الکترودهای یون گزین
۲	۲-۱-۱- غشاهای حالت جامد
۵	۲-۲-۱-۱- غشاهای مایع
۶	۱-۲-۱-۱- غشاهای مایع حاوی لیگاندهای باردار
۷	۱-۲-۲-۱-۱- غشاهای مایع حاوی حاملهای خنثی
۸	۲-۲- پلیمرهای هادی
۹	۳- پتانسیل غشا
۱۰	۴- اندازه گیری پتانسیل غشا
۱۰	۱-۴-۱- پتانسیل غشا در غیاب پتانسیل نفوذی داخلی
۱۰	۱-۱-۴-۱- غشا حالت جامد
۱۲	۱-۲-۱-۴-۱- غشاهای نیمه تراوا
۱۳	۱-۲-۴-۱- پتانسیل اتصال مایع
۱۵	۱-۳-۴-۱- پتانسیل غشا در حضور پتانسیل نفوذی داخلی
۱۵	۱-۱-۳-۴-۱- غشاهای حالت جامد تبادل گر یون
۱۶	۱-۲-۳-۴-۱- غشاهای مایع با حاملهای خنثی
۱۷	۱-۳-۳-۴-۱- غشاهای مایع حاوی لیگاندهای حل شده در آن
۲۰	۱-۴- گزینش پذیری
۲۱	۱-۱-۵-۱- مزاحمت و گزینش پذیری در غشاهای حالت جامد
۲۲	۱-۲-۵-۱- مزاحمت و گزینش پذیری در غشاهای مایع حاوی حاملهای خنثی
۲۳	۱-۳-۵-۱- مزاحمت ها و گزینش پذیری در غشاهای حاوی لیگاندهای باردار

۲۴	-۶-۱- تعیین ضرایب گزینش پذیری
۲۴	-۱-۶-۱- روش محلول مجزا
۲۵	-۱-۶-۲- روش مزاحم ثابت
۲۶	-۱-۶-۳- روش یون اولیه ثابت
۲۶	-۱-۶-۴- روش دو محلولی
۲۶	-۱-۶-۵- روش انطباق پتانسیل
۲۷	-۱-۷- حلالها در فرایند الکتروشیمیایی
۲۷	-۱-۷-۱- فعالیت پروتون
۲۸	-۱-۷-۲- گستره پتانسیل اعمالی
۲۸	-۱-۷-۳- ثابت دی الکتریک
۲۸	-۱-۷-۴- قدرت حلایت

بخش ۲- بررسی های آزمایشگاهی

۲۹	-۲- مقدمه
۲۹	-۱-۲- دستگاههای و مواد مورد استفاده
۳۰	-۲-۱- بررسی و سنتز پلیمر ۴- نیترو ۱ و ۲- دی آمینو بنزن بر روی الکترود فیلم طلا
۳۲	-۲-۲- بررسی و سنتز پلی ۴- نیترو ۱ و ۲- دی آمینو بنزن بر روی الکترود گرافیتی
۳۴	-۲-۳- سنتز پلیمر ۴- نیترو ۱ و ۲- دی آمینو بنزن از طریق پتانسیل کنترل شده الکترود کار
۳۵	-۲-۴- بررسی طیف DRS پلیمر سنتز شده از طریق CV
۳۷	-۲-۵- بررسی طیف IR پلیمر سنتز شده در روی الکترود فیلم طلا
۴۰	-۲-۶- بررسی CV پلیمر سنتز شده در روی الکترود فیلم طلا
۴۱	-۲-۷- سنتز پلیمر ۴- نیترو ۱ و ۲- دی آمینو بنزن از طریق شیمیایی
۴۳	-۲-۸- بررسی هدایت پلیمر سنتز شده از طریق CV
۴۳	-۲-۹- بررسی امکان استفاده از پلیمر ۴- نیترو ۱ و ۲- دی آمینو بنزن در تیتراسیون هدایت سنجی
۴۵	-۲-۱۰- استفاده از پلیمر ۴- نیترو ۱ و ۲- دی آمینو بنزن بعنوان الکترود شناساگر pH
۴۹	-۲-۱۱- بررسی تیتراسیون اسید قوی با باز قوی با استفاده از پلیمر ۴- NDAB

- ۴۹ - ۱۳-۲- بررسی بستگی pH به پتانسیل (معادله نرنسن)
- ۵۱ - ۱۴-۲- بررسی رفتار الکترود ساخته شده نسبت به pH در حضور اسید اولئیک
- ۵۱ - ۱۵-۲- پاسخ الکترود نسبت به یون Na^+ و K^+
- ۵۲ - ۱۶-۲- بررسی حساسیت الکترود پلیمری ۴-NDAB نسبت به یون نقره
- ۵۴ - ۱۷-۲- بررسی تیتراسیونها کمپلکسومتری با نمک EDTA
- ۵۵ - ۱۸-۲- تیتراسیون اسید و باز در محیط اتانولی

بخش ۳- بحث و نتیجه گیری

- ۵۸ - ۱-۳- بحث و نتیجه گیری
- ۶۳ - ۲-۳- پیشنهاد برای کار های آینده
- ۶۴ - مراجع

فهرست جدول ها

صفحه

جدول

- جدول ۲-۱- تغییرات پتانسیل الکترود پلیمری NDAB-4 نسبت به pH در مقابل کالومل ۵۰
- جدول ۲-۲- تغییرات پتانسیل الکترود پلیمری NDAB-4 غوطه ور شده در اولئیک اسید نسبت به pH در مقابل کالومل ۵۱
- جدول ۲-۳- تغییرات پتانسیل الکترود پلیمری NDAB-4 نسبت به pNa در مقابل کالومل ۵۲
- جدول ۲-۴- تغییرات پتانسیل الکترود پلیمری NDAB-4 نسبت به pK در مقابل کالومل ۵۲
- جدول ۲-۵- پاسخ الکترود نسبت به تغییرات یون نقره ۵۳
- جدول ۲-۶- تغییرات پتانسیل الکترود نسبت به غلظتهای مختلف تیوسیانات ۵۳
- جدول ۲-۷- تغییرات پتانسیل الکترود پلیمری NDAB-4 نسبت به pH ۵۷

فهرست شکل ها

صفحه	شکل
۳	شکل ۱-۱ ساختمان سیلیکاتی خالص
۳	شکل ۲-۱ ساختمان سیلیکاتی همراه با حضور Al_2O_3
۵	شکل ۳-۱ ساختمان الکترودهای غشا مایع (a) غشا تشکیل شده از یک تبادلگر یونی حل شده در یک ماتریس خنثی (b) غشا تشکیل شده از یک تبادلگر یونی ثابت شده بر روی توپی متخلخل . a ، الکترود نقره-نقره کلرید - b ، لوله PVC - c ، غشا - d، محلول استاندارد داخلی - e، حفره غشا - f، حلقه O و g ، مایع تبادلگر یونی آلی
۷	شکل ۴-۱ ساختار ماکرو تترولیدها
۷	شکل ۵-۱ ساختار والینو مایسین
۸	شکل ۶-۱ ساختمان پلیمرهای هادی، (پلی پیروول) $X=NH$ و (پلی تیوفن) $X=S$ و (پلی فوران) $X=O$
۲۴	شکل ۷-۱ تعیین ضرایب گزینش پذیری به روش محلول های مجزا
۲۵	شکل ۸-۱ تعیین ضرایب گزینش پذیری به روش مزاحم ثابت
۲۷	شکل ۹-۱ تعیین ضرایب گزینش پذیری به روش انطباق پتانسیل
۳۰	شکل ۱-۲ ولتاومگرام DPP از NDAB-4 در سولفوریک اسید ۱/۵ مولار بر روی الکترود DME ، غلظت گونه $10^{-3} \times 5/6$ mV ، ارتفاع پالس ۵۰ mV زمان پالس ۵۰۰ میکرو ثانیه و با فواصل ۰/۰۴ ثانیه
۳۱	شکل ۲-۲ ولتاومگرام چرخه ای (CV) از NDAB-4 پس از ۴۰ چرخه در محیط سولفوریک اسید بغلظت ۱/۵ مولار بر روی الکترود فیلم طلا، غلظت نمونه مانند شکل ۱-۲ است ، سرعت روبش 50 mV/s
۳۲	شکل ۳-۲ ولتاومگرام چرخه ای ارتودی آمینو بنزن در محیط سولفوریک اسید ۱/۵ مولار بر روی الکترود فیلم طلا ، سرعت روبش 50 mV/s
۳۳	شکل ۴-۲ ولتاومگرام چرخه ای (CV) از NDAB-4 در روی الکترود گرافیت پیرولیتیکی در سولفوریک اسید ۱/۵ مولار (40 mV/s ، سرعت روبش 50 mV/s)
۳۴	شکل ۵-۲ مقایسه طیف باز تابش انتشاری (DRS) پلیمرهای حاصله از طریق سنتز در پتانسیل الکترود کار کنترل شده و CV (تعداد چرخه ها ۴۰ دور ، غلظت منومر $10^{-3} \times 5/6$ مولار در محیط H_2SO_4 به غلظت ۱/۵ مولار)

- شکل ۲-۶- طیف بازتابش انتشاری فیلم پلی آنیلین پس از سنتز در پتانسیل الکترود کارکترول شده روی گرافیت (جهت مقایسه) ۳۵
- شکل ۷-۲ - DRS پلیمر تهیه شده در روی الکترود فیلم طلا با ۴۰ چرخه و ۸۰ چرخه ۳۶
- شکل ۸-۲- ساختار پلی آنیلین ۳۶
- شکل ۹-۲- ساختار پلیمر ۴- نیترو ۱۰- دی آمینو بنزن ۳۷
- شکل ۱۰-۲- ساختار پلیمر ۱۰- دی آمینو بنزن ۳۷
- شکل ۱۱-۲- طیف IR الکترود فیلم طلا در روی پلی آمید ۳۸
- شکل ۱۲-۲- بررسی طیف IR پلیمر سنتز شده بر روی الکترود فیلم طلا از طریق CV (تعداد چرخه ها ۴۰ دور- غلظت منومر $^{3} \text{H}_2\text{SO}_4 / ۵ \times ۱۰^{-۳}$ مولار در محیط ۰/۵ مولار) ۳۹
- شکل ۱۳-۲- بررسی طیف IR پلیمر سنتز شده بر روی الکترود فیلم طلا از طریق CV (تعداد چرخه ها ۸۰ دور- غلظت منومر $^{3} \text{H}_2\text{SO}_4 / ۵ \times ۱۰^{-۳}$ مولار در محیط ۰/۵ مولار) ۳۹
- شکل ۱۴-۲- ولتاژ گرام چرخه ای (CV) پلیمر سنتز شده در روی الکترود فیلم طلا، (سرعت روبش ۵۰ mV/sec و الکتروولیت M ۰/۵ سولفوریک اسید) ۴۰
- شکل ۱۵-۲- طیف IR ترکیب ۴- نیترو ۱۰- دی آمینو بنزن ۴۱
- شکل ۱۶-۲- طیف IR پلیمر تهیه شده از طریق شیمیایی توسط آمونیم پرسولفات ۴۲
- شکل ۱۷-۲- طیف IR پلیمر تهیه شده از طریق شیمیایی توسط پتانسیم بی کرومات ۴۲
- شکل ۱۸-۲- تغییرات مقاومت پلیمر حاصله بر حسب پتانسیل الکترود کار. (۰ ۴۰ چرخه - ۸۰ چرخه) ۴۳
- شکل ۱۹-۲- منحنی تیتراسیون کلریدریک اسید ۱/۰ مولار با سود ۱/۰ مولار \blacksquare الکترود پلاتین، \blacklozenge الکترود فیلم طلا، \blacktriangle با الکترود فیلم پلیمری ۴۴
- شکل ۲۰-۲- منحنی های تیتراسیون اسید ضعیف ۱/۰ مولار با سود ۱/۰ مولار بر روی سه الکترود پلاتینی \blacksquare ، فیلم طلا \blacklozenge و فیلم پلیمری \blacktriangle ۴۵
- شکل ۲۱-۲- منحنی تیتراسیون سدیم کربنات با HCl در روی الکترود پلیمری با سنتز در ۲۰ چرخه ۴۶
- شکل ۲۲-۲- منحنی تیتراسیون سدیم کربنات با HCl. پلیمر تهیه شده با ۴۰ چرخه (شوابط تیتراسیون در متن آورده شده است). ۴۷

شکل ۲-۲۳- منحنی تیتراسیون سدیم کربنات با HCl . پلیمر تهیه شده با ۸۰ چرخه (شرایط تیتراسیون در

۴۷ متن آورده شده است)

شکل ۲-۲۴- منحنی تیتراسیون استیک اسید ۱/۰ مولار با NaOH ۰/۰۸۸۸ مولار پلیمر تهیه شده با ۲۰

۴۸ چرخه

شکل ۲-۲۵- منحنی تیتراسیون استیک اسید ۱/۰ مولار با NaOH ۰/۰۸۸۸ مولار پلیمر تهیه شده با ۴۰

۴۸ چرخه

شکل ۲-۲۶- منحنی تیتراسیون استیک اسید ۱/۰ مولار با NaOH ۰/۰۸۸۸ مولار . پلیمر تهیه شده با ۸۰

۴۸ چرخه

شکل ۲-۲۷- منحنی تیتراسیون ۱۱/۰ مولار HCl و ۱۱۸۴/۰ مولار NaOH با الکترود شناساگر پلیمر

۴۹ ۴-NDAB

شکل ۲-۲۸- بستگی پتانسیل الکترود به pH در محیط‌های بافری (۲۰♦ چرخه ، ▲ ۴۰ چرخه ، ■ ۸۰ چرخه

۵۰)

شکل ۲-۲۹- منحنی تیتراسیون یون نقره با تیوسیانات در بافر استاتی pH=۴/۶ ، الکترود پلیمر ۴-NDAB

۵۲ بعنوان الکترود شناساگر

شکل ۲-۳۰- تغییرات پتانسیل الکترود پلیمری ۴-NDAB نسبت به غلظتهای مختلف تیوسیانات نسبت به

۵۳ الکترود کالومول

شکل ۲-۳۱- تیتراسیون ۵ میلی لیتر Hg^{2+} ۱/۰۰۰۱ مولار با EDTA ۱/۰۰۰۱ مولار در محیط‌های بافری

۵۴ استات pH=۴/۹

شکل ۲-۳۲- منحنی تیتراسیون ۵ میلی لیتر Hg^{2+} بغلظت ۱/۰۰۰۱ مولار با تیوسیانات ۱/۰۰۰۱ مولار همراه با

۵۵ الکترود شناساگر پلیمری ۴-NDAB و کالومول بعنوان الکترود مرجع

شکل ۲-۳۳- منحنی تیتراسیون فتالیک اسید ۱/۰ مولار با ۱/۰ مولار KOH نسبت به الکترود پلیمری

۵۶ ۴-NDAB (۲۰ چرخه)

شکل ۲-۳۴- تغییرات پتانسیل الکترود پلیمری ۴-NDAB نسبت به pH

الکتروپلیمریزاسیون ۴-نیترو ۱ و ۲-دی آمینو بنزن و امکان ساخت الکترودهای یون گزین از آن

نرجس عاشوری

پلیمریزاسیون الکتروشیمیایی ترکیب ۴-نیترو ۱ و ۲-دی آمینو بنزن در محیط سولفوریک اسید ۰/۵ مولار و در حضور $^{+3} \times 10^{-6}$ مولار متومر در گستره پتانسیل $-0.2 - 0.1$ میلی ولت از طریق CV بر روی الکترودهای لایه نازک طلا و کربن پیرولیتیکی مورد بررسی قرار گرفت. نحوه پلیمریزاسیون و ویژگیهای ساختاری پلیمر، به کمک تکنیکهای IR، DRS و ولتاوتمتری چرخه ای بررسی شد. پلیمر حاصله به دلیل داشتن گروههای آمینی و ایمینی قادر به پاسخ دهی خطی نسبت به تغییرات pH با شبیغ غیر نرستینی می باشد.

لایه نازکی از این پلیمر در روی الکترود فیلم طلا، در انواع تیتراسیون های اسید - باز ، رسوبی و هدایت سنجدی و در محیطهای آبی و اتانولی مورد بررسی قرار گرفت . بطوریکه بررسی ها نشان داد الکترود تهیه شده به یون تیوسیانات حساس است.

حساسیت پلیمر نسبت به یونهای Na^+ ، K^+ ، Ag^+ و Hg^{+2} تحقیق شد و نتایج بیانگر اینست که پلیمر ، نسبت به این یونها حساس نیست.

واژه های کلیدی : الکتروپلیمریزاسیون ۴-نیترو ۱ و ۲-دی آمینو بنزن ، الکترود انتخابگر ، ولتاوتمتری چرخه ای.

بخش اول

مقدمه و تئوري

۱- مقدمه

الکترودهای یون گزین^۱ ، حسگرهای^۲ الکتروشیمیای هستند که به فعالیت برخی از یونها بطور انتخابی پاسخ می دهند . البته با توجه به اینکه هیچ الکترودی وجود ندارد که تنها به یک یون خاص پاسخ دهد در نتیجه برای نام گذاری این الکترودها از عبارت انتخابگر (selective) بجای واژه ویژه (specific) استفاده شده است . نرنست[۱] و پلانک[۲] با بررسی تئوری پتانسیل غشا الکترودهای انتخابگر ، مفاهیم پتانسیل نفوذی و پتانسیلهای مختلف سطوح تماس مایع - مایع را معرفی کردند و پس از چند سال cremer [۳] دریافت که بعضی از الکترودهای شیشه ای به یون هیدروژن پاسخ می دهند . در سال ۱۹۶۷ ROSS [۴] غشاهای مایع را برای الکترود یون گزین کلسیم معرفی کرد و پس از مدتی الکترود یون گزین فلورید با غشا حالت جامد توسط Ross همکارانش [۵] کشف شد . تحقیقات بر روی الکترودهای انتخابگر نیز همچنان ادامه دارد . در قسمت اول این پایان نامه سعی شد تا در مورد انواع الکترودهای یون گزین ، ضرایب گزینش پذیری ، پتانسیل غشا و غیره مورد بررسی قرار گیرد .

۱-۱- انواع الکترودهای یون گزین

ساختار الکترودهای یون گزین به خواص شیمیایی - فیزیکی گونه های الکترو اکتیو و همچنین به هدفی که الکترود برای آن ساخته می شود بستگی دارد [۶]. بر حسب خواص فیزیکی موادی که غشا الکترود را تشکیل می دهد دسته بندی می شود. برای دسته بندی کردن غشاهای باید به نکاتی همچون جامد یا مایع بودن ، حضور یا غیاب مواد نفوذی در غشا و نوع لیگاند توجه کرد . با توجه به نکات فوق غشاهای را به دو گروه اصلی تقسیم می کنند [۷] .

۱-۱-۱- غشاهای حالت جامد^۱

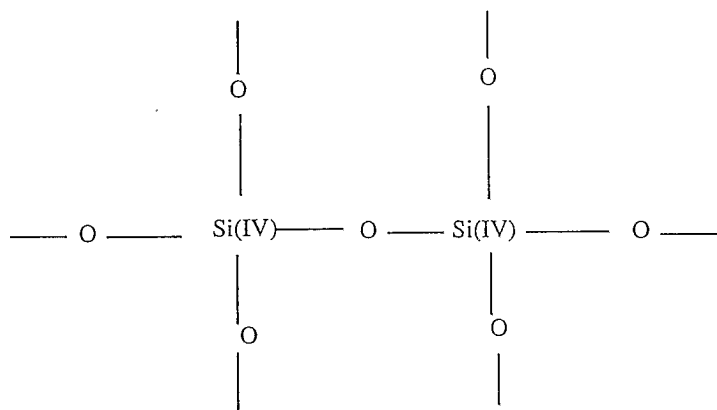
غضهای حالت جامد به دو دسته همگن و ناهمگن تقسیم می شوند. بطوریکه غشاهای همگن بشکل قرص از مواد جامد تهیه می شوند و در صورتیکه غشاهای ناهمگن از آمیخته شدن ماده جامد با یک ماتریس پلیمری مثل PVC ، پلی اتیلن و کائوچو سیلیکونی تهیه می شود ، بندرت غشاهای حالت جامد همگن از یک نوع ماده تشکیل می شوند. اغلب دیده شده که چند نوع ترکیب در ساختار این الکترودها بکار می رود . مانند Ag_2S-CdS ، $AgCl-Ag_2S$...

در ساختار الکترودها گاهی محلول داخلی را با یک قطعه فلزی که مستقیماً با غشا تماس دارد جایگزین می کنند. بطور مثال بسیاری از غشاهای محتوی نقره سولفید از فشرده شدن یک سیم نقره بر روی قرص و یا توسط یک چسب حاوی پودر نقره ساخته می شوند. به چنین الکترودهایی، الکترودهای تمام حالت جامد گویند. این نوع الکترودها برای کارهای عملی بسیار مفید ولی در مورد مباحث ترمودینامیکی این الکترودها اختلاف نظر وجود دارد چرا که هدایت الکتریکی غشا نسبت به هدایت الکتریکی در سیم های فلزی بسیار کمتر است [۸ و ۹]. در چنین مواردی اختلاف پتانسیل در حد فاصل غشا - سیم فلزی برقرار می شود. مقادیر E^0 وابستگی بسیار زیادی به ترکیب درصد فاز غشا دارد که باید در این اتصالها به مقادیر استوکیومتری و همچنین غیر استوکیومتری ترکیبات توجه شود . بطور مثال در کنار $Cu_{1/86}S_{1/86}$ هم می تواند در رسوب سولفید وجود داشته باشد [۱۰ و ۱۱].

الکترودهای حالت جامد به ۵ گروه اصلی تقسیم می شوند:

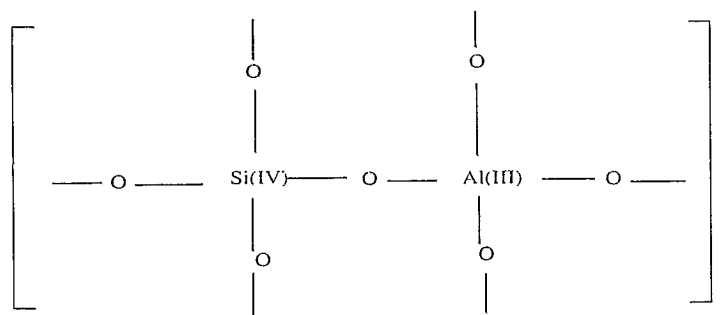
الف) غشا شیشه

شیشه مایعی فوق سرد ، که بصورت اکسید معرفی می شود . هر چند که بسیاری از اکسیدها ، سولفیدها ، سلنیدها، هالیدها را می توان بصورت شیشه در آورد . اساساً برای تشکیل شیشه ها حضور اکسید کاتیونهای ۳ ظرفیتی یا بیشتر مانند SiO_2 ، P_2O_5 و غیره ضروری می باشد که این اکسیدها بصورت شبکه های سه بعدی می باشند بطوریکه اتم مرکزی توسط ۳ اتم اکسیژن یا بیشتر احاطه می شود.

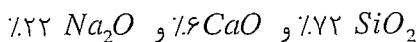


شکل ۱-۱ - ساختمان سیلیکاتی خالص

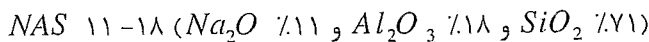
تعداد اتمهای اکسیژن از روی ظرفیت کئوردیناسیونی کاتیون تعیین می شود که با جایگزین کردن کاتیونهایی با درجه اکسایش پایین تر می توان در شبکه سه بعدی مکانهایی با بار منفی ایجاد نمود

شکل ۱-۲- ساختمان سیلیکاتی همراه با حضور Al_2O_3

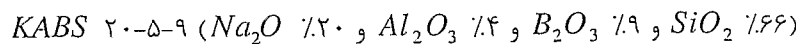
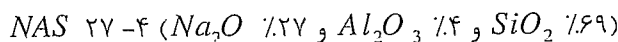
استفاده از اکسید کنندهای قلیایی و یا قلیایی خاکی به جای Si در شبکه سه بعدی، موجب ایجاد مقرهای منفی که انتخابگری بالایی نسبت به یون H^+ دارند، می شود [۱۴-۱۲]. اولین الکترودهای شیشه ای بعنوان الکترود pH متر با ترکیب درصد زیر ساخته شده است.



در الکترود حساس به سدیم از Al_2O_3 استفاده می شود.



ترکیب الکترود شیشه حساس به پتاسیم عبارتند از:



نکته قابل توجه اینست که تمام الکترودهای حساس به فلزات قلیایی به یونهای نقره و هیدروژن هم پاسخ می

دهند بعنوان مثال برای الکترود ۱۱-۱۸ NAS ، $K_{Na,Ag}^{Pot}$ و $10^{-5} \times 10^{-2}$ ببنابراین، این الکترود باید در pH بالای ۷ استفاده شوند.

ب) غشاهای حاوی تبادلگر یونی جامد

این نوع الکترودها در فرایند جداسازی آزمایشگاهی و صنعتی بسیار مفید هستند. همچنین در بسیاری از غشاها بیو شیمیایی عملکرد بالایی از خود نشان داده اند [۱۶ و ۱۵]. مهمترین کاری که در این زمینه صورت گرفته است توسط Vandalen و Ijsseling [۱۷] انجام شده که از این نوع الکترود به عنوان شناساگر در تعیین نقطه پایانی در تیتراسیون های پتانسیومتری استفاده کرده اند.

ج) غشاهای تک کریستالی^۱

مثالهایی از این نوع می توان به لانتانیم (III) فلورید [۱۸]، مس (I) سولفید [۱۹] و مس سلنید [۲۰] اشاره کرد.

د) غشاهاي چند كريستالي^۱

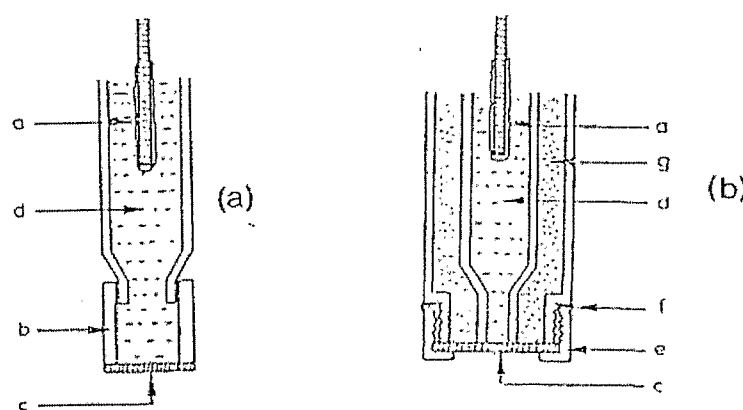
قديميترين کار در اين زمينه استفاده از باريوم سولفات بعنوان غشا می باشد . بعنوان نمونه های ديگر می توان به غشاهاي نقره هاليد اشاره نمود [۲۱و۲۲].

ه) غشاهاي تشکيل شده از مخلوط چند كريستال^۲

مثالهاي در اين زمينه غشاهاي از جنس مس سولفید - نقره سولفید - نقره سولفید - کادمييم سولفید [۲۳] . است [۲۴].

۲-۱- غشاهاي مایع

تفاوت عمدۀ اين الکترودها با الکترودهاي حالت جامد در تعداد يا نوع مقرهاي تبادلگر یونی آنها می باشد بطوریکه در الکترودهای غشا مایع این مقرها متحرك و در حالیکه الکترودهای جامد مقرهاي ثابت دارند . به همین علت به عنوان الکتروود با غشا مایع معروف می باشند . اين غشاها در حقیقت از انحلال تبادلگرهای یونی در يك حلal آلي نامحلول در آب ساخته شده اند که اين محلولها را بر روی صافی پلاستیکی ، شیشه ای و یا سرامیکی ساکن می کرددند در حالیکه امروزه تبادلگر یونی در ماتریس خنثی مثل PVC ، پلی اتیلن یا لاستیک سیلیکونی ^۳ حل می شوند.



شكل ۳-۱- ساختمان الکترودهای غشا مایع (a) غشا تشکيل شده از يك تبادلگر یونی حل شده در يك ماتریس خنثی (b) غشا تشکيل شده از يك تبادلگر یونی ثابت شده بر روی توپی متخلخل . a ، الکتروود نقره - نقره کلرید - b ، لوله PVC - c ، غشا - d ، محلول استاندارد داخلی - e ، حفره غشا - f ، حلقه ۰ و g ، مایع تبادلگر یونی آلي .

^۱- Poly Crystals Membranes

^۲- Mixed Crystal Membranes

^۳- Silicon rubber

ترکیب درصد غشاها مایع ، حدود ۳٪ جنس غشا را PVC و یا هر ماده پلیمری دیگر، ۵٪ ماده الکترو اکتیو و حدود ۶٪ نرم کننده ^۱ نظیر ارتونیترو فنیل اکتیل اتر (O-NPOE) بعنوان حلal غشا می باشد و حدود ۵٪ از ترکیب افزایشی ^۲ جهت افزایش هدایت غشا و از طرفی به دلیل داشتن آنیونهای حجیم و چربی دوست باعث کاهش مراحمت آنیونها می شود. حلالهای بکار رفته برای حل کردن تبادلگرهای یونی باید دارای مشخصات زیر باشد.

- حلالیت کم در محلول نمونه های آبی
 - داشتن ویسکوزیته بالا به منظور جلوگیری از هدر رفتن شدید آن در زمان عبور در امتداد غشا
 - فشار بخار پایین به جهت حد اقل هدر رفت در هنگام تبخیر حلال
- از نقطه نظر مواد الکترو اکتیو بکار رفته در این نوع غشاها ، به دو گروه اصلی می توان اشاره نمود: غشاها مایع حاوی لیگاندهای باردار (LISE) و غشاها مایع حاوی حاملهای خنثی.

۱-۱-۲-۱- غشاها مایع حاوی لیگاندهای باردار

اگر چه مشخصات کلی LISE به نوع حلال [۲۵]، نرم کننده و ماتریس پلیمری بکار رفته در آن بستگی دارد ولی مهمترین فاکتور در این غشاها انتخاب ماده الکترو اکتیو می باشد . متداولترین موادی که در ساخت غشاها بکار می رود عبارتند از:

الف- استرهای فسفریک اسید مانند دی آکلیل فسفات و دی -n- اکتیل فنیل فسفات برای یونهای M^{2+} مثل [۲۶] (Ca^{2+}, Zn^{2+})

ب- تریس نیکل II نیترات [۲۷] ، نمکهای آمونیوم نوع چهارم مانند تریس دودسیل هگزا دسیل آمونیوم نیترات [۲۸]، ۱۰- فنانترولین نیترات برای یونهای نیترات و پرکلرات. ج) نیکل II فنانترولین برای فلوروبورات [۲۹]

د) دی متیل دی استئاریل برای یون Cl^- [۳۰]

اگر چه تعداد زیادی از سیستمهای تبادل یونی در دسترس می باشند و همچنین تقریباً می توان برای هر کاتیون یا آنیونی یک الکترود یون گزین ساخت ، اما تعداد کمی از این سیستمهای رفتار رضایت بخشی از خود نشان می دهد. مخصوصاً در مورد ضرایب گزینش پذیری که اعداد بدست آمده از اعداد واقعی بیشتر می باشد. به همین

^۱- Plasticizer

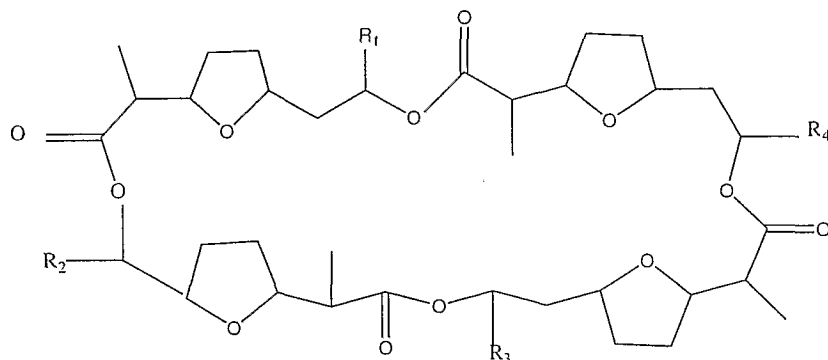
^۲- Additive

جهت در حال حاضر الکترودهای تجاری اندکی در دسترس می باشد . و مهمترین این الکترودها الکترود کلسیم ، نیترات ، پرکلرات ، فلوروبورات و الکترود کلرید می باشد.

۱-۲-۲-۱- غشاها مایع حاوی حاملهای خنثی

استفاده از حاملهای خنثی اولین بار توسط Sterfance ، Simon [۳۱] ارائه شد. بطوریکه از یک آنتی بیوتیک با حلقه های بزرگ که گزینش پذیری خوبی در مقابل یون پتابسیم از خود نشان می داد استفاده کردند. در ساخت این غشاها از چند گروه مواد استفاده می شود:

گروه اول : ماکروتترولیدها (macrotetrolides) مانند موناکتین ، دی ناکتین ، تری ناکتین که ۸ اتم اکسیژن در حلقه انعطاف پذیر خود دارند.



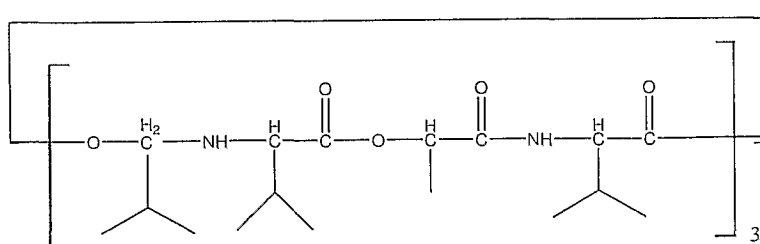
موناکتین : $R_1=R_2=R_3=CH_3$ و $R_4=C_2H_5$

دی ناکتین : $R_1=R_3=CH_3$ و $R_2=R_4=C_2H_5$

تری ناکتین : $R_1=CH_3$ و $R_2=R_3=R_4=C_2H_5$

شکل ۱-۴- ساختار ماکرو تترولیدها

گروه دوم : ترکیبات ماکروسیکلیک ، یعنی ترکیباتی مانند Cyclic depsipeptides (α - آمینو اسیدها و α - هیدروکسی اسیدهای آلیاتیک که یک در میان در روی حلقه با هم پیوند داده اند) که می توان به والینو مایسین برای انتخابگری پتابسیم اشاره کرد.

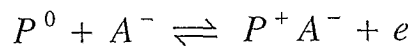


شکل ۱-۵- ساختار والینو مایسین

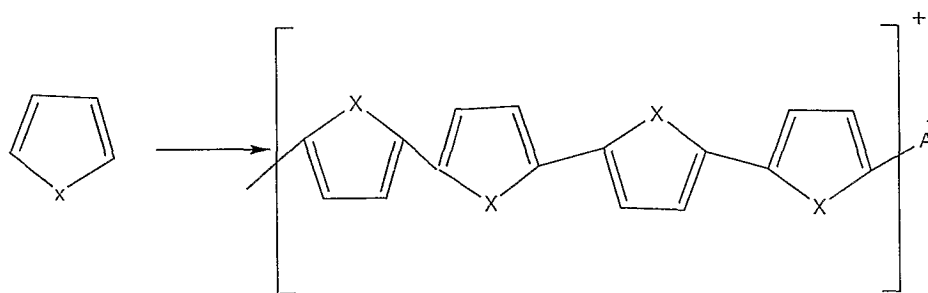
گروه سوم: اثر های تاجی شکل^۱ [۳۲] هستند که حفره هایی با اتمهای اکسیژن در مرکز آنها تشکیل می شود و میزان حساسیت نسبت به فلزات قلیایی به اندازه حلقه و تعداد اتمهای اکسیژن بستگی دارد.

۲-۱- پلیمرهای هادی [۳۳و ۳۴]

پلیمرهای هادی الکترونی (مانند پلی پیرول، پلی تیوفن، و پلی آنیلین)، به دلیل توانایی آنها در تعویض برگشت پذیر بین حالت رسانای با بار مثبت و حالت خنثی (اصولاً عایق) و ورود و خروج گونه های یونی در حین اکسیداسیون و احیاء، بطور قابل ملاحظه ای مورد توجه قرار گرفته اند:



که در آن P^0 و P^+ به ترتیب بیانگر فرم های کاهیده و اکسیده پلیمر و A^- آنیون دوپه کننده می باشد. یون اخیر، برای حفظ خنثائیت الکتریکی و موازنیه بار مثبت استخوان بندی پلیمر بکار می رود. هدایت الکتریکی این پلیمر ها از ساختمان الکترونی (یعنی جایگایی الکترونی غیر مستقر π) اسکلت پلیمری آنها نشات می گیرد. تغییرات ردوکس در مرکز خاصی متمنکر نمی شود بلکه تا اندازه های در سرتاسر تعدادی از گروه های پلیمرهای هادی به حالت غیر متمنکر در می آیند. این پلیمرها به سادگی با استفاده از پلیمریزاسیون الکتروشیمیایی از محلول منومر قابل تهیه هستند.



شکل ۱-۶- ساختمان پلیمرهای هادی، (پلی پیرول) $X=NH$ و (پلی تیوفن) $X=S$ و (پلی فوران) $X=O$

غالباً اولین مرحله در فرایند الکتروپلیمریزاسیون، تشکیل یک رادیکال کاتیون از اکسیداسیون الکتروشیمیایی منومر می باشد. به دنبال این مرحله معمولاً فرایند دیمری شدن انجام می گیرد و به دنبال آن اکسیداسیون بیشتر و